

## شناسایی خاستگاه نهشته های پلیستوسن پسین جنوب دشت گانگ (شمال هند) با بهره گیری از کانی های رسی

### پرویز غضنفری

گروه زمین شناسی، دانشکده علوم پایه، دانشگاه بین‌المللی امام خمینی  
الکترونیکی‌نشانی P\_ghazanfari@yahoo.com

دریافت: ۸۸/۸/۲۲ پذیرش: ۸۸/۸/۲۲

### چکیده

دشت گانگ (گانگ) در شمال هندوستان بر روی بزرگترین پیش‌خشکی (فورلاند) روی زمین قرار گرفته است. این دشت آبرفتی بزرگ از شمال به کمان بزرگ هیمالیا و از جنوب به کراتون هند محدود شده است. در منطقه کالپی، که در جنوب دشت گانگ و در کنار رود یامونا قرار گرفته است، نهشته های رسوبی گل‌سنگ، سیلت‌سنگ و ماسه‌سنگ بروزند دارد، و دارای بُرش چینه‌نگاری (۳۳ متر) با مقیاس زمانی  $10^5$  تا  $10^6$  سال است. این بُرش از تناب گل‌سنگ و سیلت‌سنگ همراه با چند لایه نازک و متوسط ماسه‌سنگ و میان‌لایه‌هایی از کنگلومرا تشکیل شده است. یکی از مسائل زمین‌شناسی این دشت، شناسایی خاستگاه نهشته‌های کواترنا برخشن جنوبی آن می‌باشد. یکی از روش‌هایی که در این راستا می‌تواند تا اندازه‌ای بخشی از ابهامات موجود را بر طرف سازد، به صورت بدون تیمار، تیمار با گل‌ایکول، و تیمار با گرمایش، شناسایی شدن. اسمکتیت کانی رسی اصلی در این بُرش است که همراه با آن کانی-های دیگر رسی آمیخته‌لایه کلریت اورمیکولیت، ایلیت و کاولینیت نیز حضور دارند. بررسی کانی‌های رسی نشان می‌دهد که کراتون کم و بیش به طور پیوسته منبعی برای تامین رسوبات توالی کالپی عمل کرده است. به دیگر سخن، فراوانی اسمکتیت در این محل نشانگر آن است که منشاء رسوبات نمی‌توانسته از رشته کوه هیمالیا در شمال، بلکه از فرسایش بروزندهای کراتون در جنوب بوده است.

واژه‌گان کلیدی: اسمکتیت، پلیستوسن پسین، خاستگاه رسوب، دشت گانگ، کانی‌های رسی

### آب و بار رسوبی است [۳]. رودهای این دشت، حجم

### مقدمه

گستردگی از رسوبات را از بخش‌های کوهستانی فرسایش داده، حمل نموده و در دشت ته نشین می‌کنند.

سبتاری توالی قاره‌ای ترشیاری پسین در این دشت از جنوب به شمال و به شکل گوهای افزایش یافته و تا ۶ هزار متر می‌رسد [۴]. دشت گانگ از دیدگاه‌های گوناگون به ویژه رسوب‌شناسی و زمین‌ریخت‌شناسی [۵]، نوزمین-ساخت [۶] و زمان‌زمین‌شناسی [۷] توسط پژوهشگران مختلفی مورد بررسی قرار گرفته است.

یکی از بهترین رخمنون‌های توالی رسوبی کواترنا دشت گانگ، در منطقه کالپی که در کرانه جنوبی این دشت بروزند دارد، قرار گرفته است (شکل ۱). رخمنون کالپی با سبتاری نزدیک به ۳۳ متر در کرانه جنوبی رود یامونا قرار دارد. رود یامونا، با درازای نزدیک به ۱۳۷۰ کیلومتر، در جایگاه کنونی، اش رسوبات حاصل از فرسایش هیمالیا و کراتون را دریافت و حمل می‌نماید. بررسی زمان‌زمین-شناسی این مقطع زمان  $10^4$  تا  $10^5$  سال را نشان می‌دهد. یکی از محوری‌ترین مباحث در این ناحیه، شناخت

پیش‌خشکی<sup>۱</sup> هیمالیا یک فرونژینی خمشی و بزرگترین حوضه پیش‌خشکی روی زمین ( $850,000$  کیلومتر مربع) است [۱]. این پیش‌خشکی یا حوضه ایندوگانگ<sup>۲</sup> دربرگیرنده دشت‌های نادگردیس شده ایندوگانگ و کمربند ترشیاری دگریخت شده<sup>۳</sup> زیرهیمالیا<sup>۴</sup> می‌گردد [۲]. دشت ایندوگانگ از شمال به کوه‌های هیمالیا و از جنوب به کراتون هند محدود می‌گردد.

دشت گانگ (گانگ) بزرگترین دشت شمال هند و دارای  $1200$  کیلومتر درازا و  $50$  تا  $150$  کیلومتر پهنا می‌باشد. رودهای دائمی با دبی بالا از سوی هیمالیا (شمال) و کراتون هند (جنوب) وارد دشت شده و سرانجام رود بزرگ گانگ کل دشت را زهکشی نموده و به براهمایوترا می‌پیوندد و در نهایت وارد خلیج بنگال می‌گردد. رود گانگ به ترتیب دومین و سومین رود جهان از دید جریان

۱. بدون تیمار: آماده سازی اسلاید و خشک کردن در دمای آزمایشگاه
۲. تیمار با گلیکول: قرار دادن اسلاید در کوره برقی برای یک ساعت در دمای  $60^{\circ}\text{C}$  درجه سانتی گراد برای غنی سازی کانی های رسی تورم پذیر مانند اسمکتیت [۱۱]
۳. تیمار با گرمایش: قرار دهی در کوره تا دمای  $55^{\circ}\text{C}$  درجه سانتی گراد به مدت یک ساعت برای شناسایی کانی هایی چون کائولینیت برای پیش گیری از آب گیری دوباره، همه اسلایدها تا هنگام قرار دهی در دستگاه XRD در خشک کن دارای ژل سیلیس نگهداری شدند. روش شناسایی و شناسایی کانی های رسی بر پایه روش های [۱۱، ۱۲، ۱۳، ۱۴] انجام گرفت (شکل ۲). فراوانی انواع کانی های رسی نیز به روش نیمه کمی تعیین گردید.

خاستگاه این نهشته هاست که کمک بسیاری به شناخت جغرافیای دیرینه و آب و هوای دیرینه این دشت می کند. در این راستا، از پرسش های پیش روی زمین شناسان این بوده است که نهشته های بُرش کالپی از کوه های هیمالیا (در شمال) سرچشم می گرفته یا از کراتون هند (در جنوب)، و یا از هر دوی آنها؟ سینگ و باجپایی [۱۸] بر پایه وجود فلدسپات های الکالن در نهشته ها، بخش پایینی توالي را از خاستگاه سنگ های پلوتونیک کراتون دانستند. اما تا کنون امکان استفاده از کانی های شاخص برای شناخت خاستگاه دیگر بخش های این توالي وجود نداشت. حتی روش های زمین شیمیابی نیز نتوانست به روشنی چنین جداسازی را نشان دهد (تری پاتی، گفته شفاهی). اما استفاده از کانی های رسی در این پژوهش و در این توالي توانست تا اندازه ای این پرسش پایه ای را پاسخ دهد [۹]. هدف از پژوهش شناسایی خاستگاه نهشته های بُرش کالپی بوده است.

### چینه نگاری

بُرش کالپی با  $33\text{ m}$  سمترا شاید مربوط به ژرف ترین بخش توالي های کواترنر در دشت گانگ باشد که سن نهشته های آن تا  $112 \pm 12\text{ ka}$  میرسد [۱۵]. این بُرش بر پایه ویژگی های سنگ شناختی و چینه نگاری به سه رخداد [۱۶] یا چهار واحد [۱۷] بخش بذیر است. نیاز به گفتن است که مقدار و نوع کانی های رسی در این دسته بندی نقشی نداشته است. شکل (۳) بُرش کلی و الگو از میان  $13$  بُرش این منطقه تهیه و ارایه شده است.

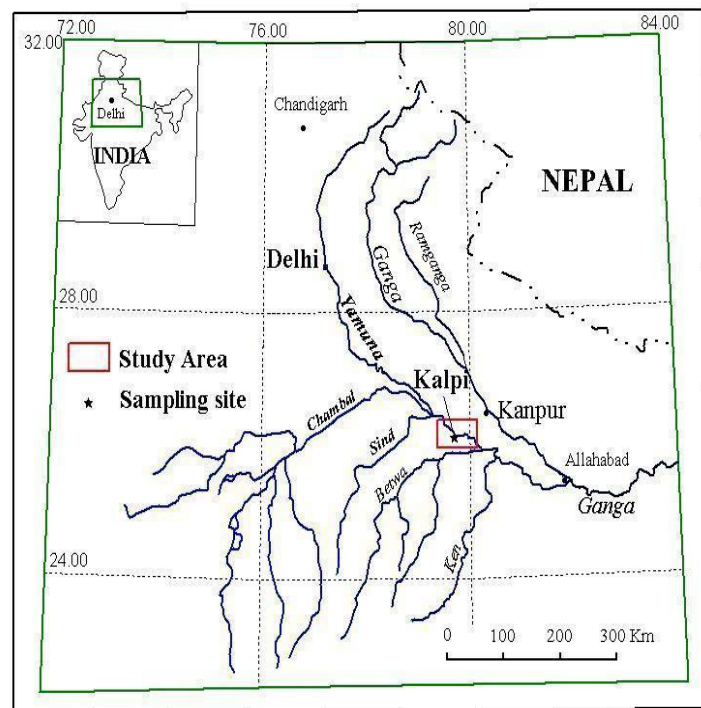
واحد ۱: دارای سیلت ماسه ای یا گل ماسه ای سرشار از رس به رنگ قرمز یا قهوه ای با سمترا  $2\text{ to }6\text{ cm}$  و ساخته های رسوبی لکه لکه<sup>۵</sup>، ریشه سنگال<sup>۶</sup> و گره ک آهن منگنز است. وجود ماسه سنگ فلدسپاتی آلکالن درشت دانه در کanal پر شده در بخش پایینی این واحد، در مقایسه با برونزدهای بخش کراتونی، نشان داد این واحد از خاستگاه کراتونی (جنوب دشت) است [۸ و ۱۶].

### روش مطالعه

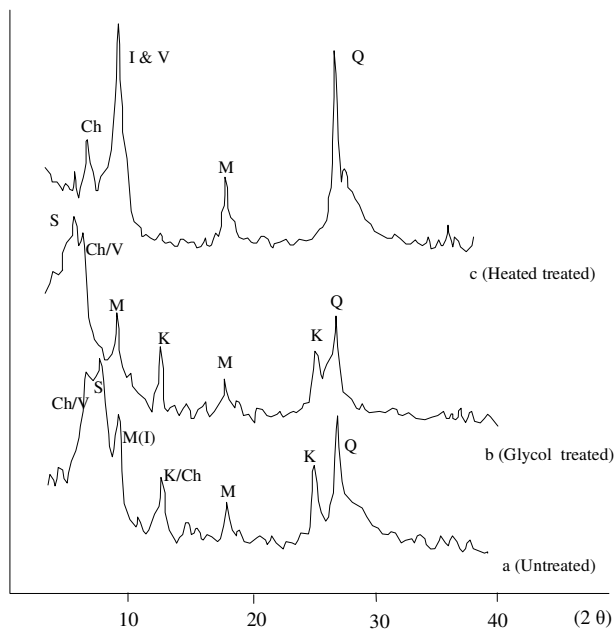
سیزده بُرش چینه نگاری برای همبستگی رخنمون ها در بخش باخته رود یامونا برای مطالعات چینه نگاری، تهیه ستون چینه سنگی و جداسازی رخساره ها برداشت شد. در یک بُرش در بخش جنوبی که (شیب کمتر و مناسب تری داشت) دوازده نمونه آنالیز XRD، هم برای نمونه های کلی سنگ و هم برای بخش رسی انجام گرفت. نمونه برداری از یکی از بخش های واحد ۴ به دلیل شیب بسیار تند میسر نگشت.

شناسایی کانی های رسی ابتدا از  $\text{H}_2\text{O}_2$  برای حذف موادآلی استفاده شد. سپس با روش الک تر دانه های بزرگ تر از سیلت جدا گردید. با به کار گیری استوانه های آتربرگ و قانون استوک دانه های کوچک تر از  $63\text{ }\mu\text{m}$  به حالت معلق در آورد و سپس دانه های کوچک تر از  $2\text{ }\mu\text{m}$  برگشته اند [۱۰] و نمونه جهت یافته آنها تهیه شد.

دانه های در اندازه رس با به کار گیری دستگاه پراش پرتو ایکس فیلیپس (PW3710) و روش های زیر مورد بررسی کانی شناختی قرار گرفتند:



شکل ۱ - موقعیت جغرافیایی و محل نمونه برداری در بُرش کالپی



شکل ۲- نمونه ای از پراش پرتو ایکس (XRD)، نمونه K1 = اسماکتیت، Ch = کانولینیت، I = کلریت، V = ورمیکولیت، S = کانولینیت، K = اسماکتیت، M = میکا، Q = کوارتز.

کانی های رسی در نمونه های توده ای دامنه ای از کمتر از ۵ درصد تا ۵۴ درصد را نشان می دهد. ۱۲ نمونه از واحدهای چهارگانه برای بررسی های دقیق کانی های رسی انتخاب شد.

دانه های در اندازه رس مربوط به نهشته های برش کالپی دارای اسمکتیت، آمیخته لایه کلریت- ورمیکولیت، کائولینیت، میکا (ایلیت) و کوارتز می باشند. اسمکتیت، با فراوانی ۳۶ تا ۷۱ درصد و میانگین کل ۵۳/۵ در صد، کانی رسی غالب در همه نمونه هاست. دیگر کانی های رسی به ترتیب فراوانی عبارتند از: آمیخته لایه کلریت - ورمیکولیت، ایلیت و کائولینیت.

### بحث

برای دانستن نقش نسبی رودهای هیمالیا و رودهای کراتون هند به عنوان حمل کننده رسوبات از خاستگاه به دشت گانگ، از کانی های رسی برای شناسایی خاستگاه و برای شناخت شرایط زمین شناسی نواحی خاستگاه استفاده شد (شکل ۵).

بر جستگی کم توپوگرافی و تراوایی کم رسوبات، همچنین بارش (رواناب) و دمای کم برای ساخت اسمکتیت مطلوب می باشد [۱۴]. چنین شرایطی به دلیل بر جستگی بسیار، بارش و رواناب فراوان در خاستگاه هیمالیا وجود ندارد. اسمکتیت یا اسمکتیت/کائولینیت در دشت گانگ در بسیاری از گزارش ها آورده شده است [۱۸ و ۱۹]. وجود اسمکتیت در دشت تابعی از هوازدگی برجا می باشد که از دگرسانی فلدسپار و میکا به دست آمده است. همچنین تاریختی<sup>۲</sup> بیوتیت به ورمیکولیت و اسمکتیت در این ناحیه گزارش شده است [۲۰]. بررسی های انجام گرفته توسط جا [۲۱] نشان داده است که پس از پیوستن رودهای کراتون (مانند چمبیل و بتوا) با رود یامونا، اسمکتیت در نهشته های معلق به چهار برابر افزایش می یابد. این کانی رسی تا کنون تنها در آب و هوای خشک دیده شده است [۲۲].

ورمیکولیت دومین کانی رسی مهم در برش کالپی است (شکل ۳). این کانی رسی در بخش های گوناگون دشت گانگ شناخته شده است [۲۳]. ورمیکولیت بیشتر به

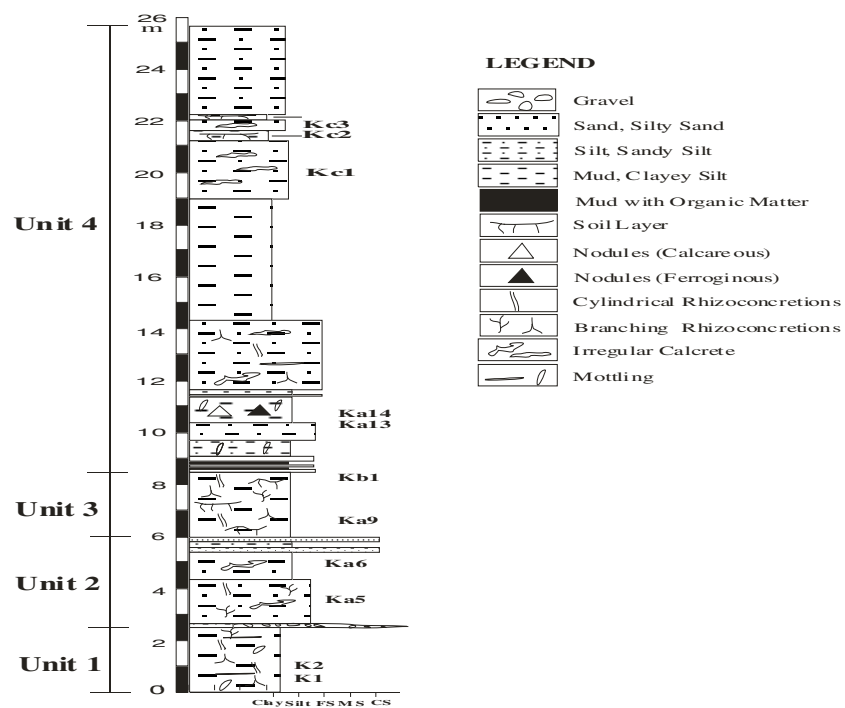
واحد ۲: دارای ۱/۷ تا ۴ متر ستبرای از ماسه سیلتی خاکستری روشن و سیلت یا سیلت رسی ماسه ای خاکستری متمایل به قهوه ای و ساخته های ریشه سنگال شاخه ای و استوانه ای، گرهک های کربناته به صورت کالکریت<sup>۷</sup> چینه بندی مورب عدسی شکل و لامیناسیون مورب ریپلی است. سینگ و همکاران [۱۶] بر پایه ماسه ریزدانه میکدار خاکستری روشن، خاستگاه این واحد را هیمالیا (شمال دشت) عنوان کرده اند. به نظر می رسد این واحد در یک محیط کانال رودخانه ای کم ژرف پهنه نشین شده است.

واحد ۳: دارای همبری ناگهانی بویژه با واحد ۲ است و ستبرای ۱/۷ تا ۳ متر گل ماسه ای سرشار از رس قهوه ای تا قهوه ای تیره دارد. ساخته های رسوبی ریشه سنگال (با ریخت استوانه ای، شاخه ای، گله ای و خوش ای) و گرهک کربناته به ویژه ساخته های زیست زادی در این واحد فراوانند به گونه ای که در اثر این فرایند بیشتر چینه بندی آغازین از بین رفته اند. واحد ۳ به سوی شمال باختری ناپدید شده به طوری که واحد ۴ به طور مستقیم روی واحد ۲ قرار گرفته است. ویژگی های رسوبی این واحد نشانگر ته نشینی در محیط مانداب پشتی<sup>۸</sup> دشت سیلانی و یا دیرینه خاک<sup>۹</sup> است.

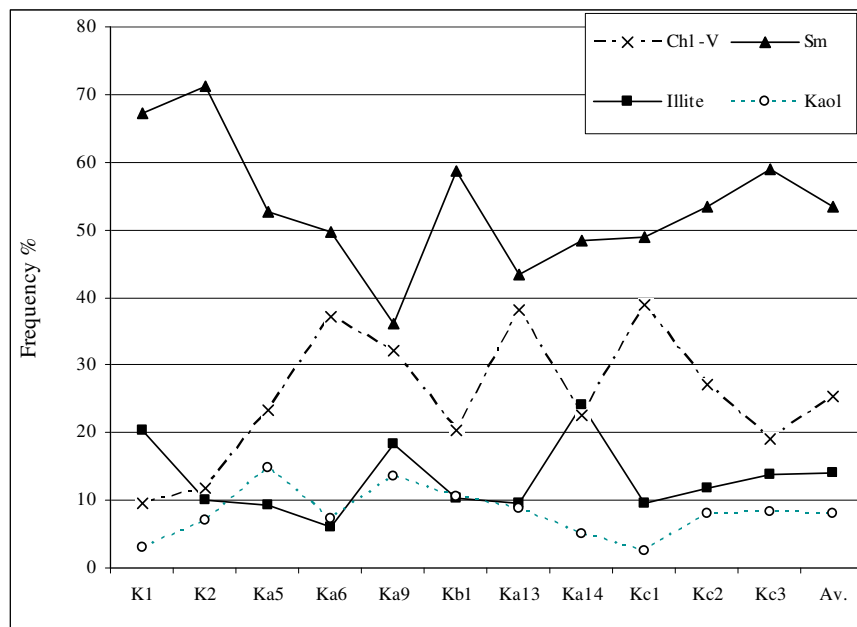
واحد ۴: با بیشترین ستبرای (۲۳ متر) بر روی واحد ۳ و در شمال باختری به طور مستقیم بر روی واحد ۲ قرار گرفته است. این واحد دارای تناوبی از لایه های سیلت ماسه ای زرد رنگ و گل ماسه ای قهوه ای و ساخته های چینه بندی مورب، لکه لکه و آشفتگی زیستی گرهک های آهک کالکریت و ریشه سنگال می باشد. محیط های رسوبی دشت سیلانی، کریوس پهنه<sup>۱۰</sup> با خاکرایی در این واحد رسوبی شناسایی گردید [۹].

### نتایج

کانی های رسی از پایین ترین تا بالاترین لایه های برش کالپی با فراوانی متفاوت وجود دارند. پراش پرتو ایکس نمونه ها نشانگر این است که اسمکتیت، سپس میکا (ایلیت)، کائولینیت، کلریت و رس های آمیخته لایه<sup>۱۱</sup> مهم ترین کانی های این برش هستند (شکل ۴). میزان



شکل ۳- برشی از منطقه کالپی که تغییرات رخسارهای را نشان می‌دهد.



شکل ۴- ترکیب کانیهای رسی نهشته های برش کالپی

اسمکتیت. مقایسه رسهای این دو رود (یامونا و گانگ) نشان می دهد به استثنا اسمکتیت، نسبت فراوانی کانیهای رسی هر دو رود همانند است.

با توجه به شبیه زیاد، آب و هوای سرد، بارش فراوان، بروزند سنگهای رسوبی و دگرگونی، و چیرگی هوازدگی فیزیکی، رسهای پیشین این خاستگاه است (جدول ۱). و حمل رسهای پیشین این خاستگاه است (جدول ۱). بنابراین، در مجموع، خاستگاه هیمالیا شرایط لازم برای ساخت کانی رسی اسمکتیت را ندارد. در حالی که ویژگی‌های زمین‌شناسی و شرایط آب و هوایی برای ساخت این کانی در بخش جنوبی دشت گانگ (کراتون) مطلوب است [۱۹]. بخش جنوبی از سنگهای مناطق تراپ دکن، ویندین-بوندل خان و آراوالی ساخته شده است و به وسیله رودهای چمبال، سیند، بتوا و کن زهکشی می شود (شکل ۵).

بیشتر نواحی ویندین دارای ماسه‌سنگ، سنگ‌آهک، شیل و کنگلومرا است. در این ناحیه، ابرگروه آراوالی با کوارتزیت، فیلیت، آرکوز و کنگلومرا شناسایی می‌شود. تراپ دکن (کرتاسه بالایی) نیز از سنگهای آتشفسنایی دارای ترکیب ذلریت یا بازالت ساخته شده است [۲۹]. کانی‌های ثانویه اغلب در تراپ‌ها به صورت دگرسانی یا جانشینی گسترش یافته‌اند. شبیه یا برجستگی در بخش جنوبی نسبتاً کم و برای ساخت اسمکتیت مناسب است (جدول ۱). بارش کمتر از ۱۰۰۰ میلی متر (به ویژه کمتر از ۲۵۰ میلی‌متر) شرایط آب و هوایی خوبی را برای گسترش اسمکتیت فراهم می‌سازد [۱۴]، که چنین ویژگی آب و هوایی در کراتون فراهم است. هوازدگی بازالت، با بارش سالیانه ۴۰۰ میلی متر، اجازه بر جای ماندن Ca و Mg در بخش هوازده را می‌دهد؛ که سرانجام به ساخت اسمکتیت می‌انجامد [۳۰]. تراپ دکن به عنوان خاستگاه، همراه با عواملی چون برجستگی کم و بارش نسبتاً کم در حوضه‌های آبریز آن، مقدار چشمگیری اسمکتیت را در رود یامونا جایه جا می‌نماید [۳۱]. از سوی دیگر، در دشت‌ها وجود اسمکتیت کاملاً بارز است. بنابراین ترکیب کانی رسی به عنوان یک شاخص برای شناخت خاستگاه نهشته‌های برش کالپی مورد بهره برداری قرار گرفت.

صورت رس آمیخته‌لایه پدید می‌آید. احتمالاً بیشتر ورمیکولیت‌ها در اثر پسرفت<sup>۱۲</sup> (کنش آبشوبی ملایم) سیلیکات‌های ورقه‌ای پیشین<sup>۱۳</sup> ساخته می‌شود. بیشترین ویژگی ورمیکولیت به وسیله کانی اولیه تعیین می‌گردد [۱۴]. ورمیکولیت‌های خاک تقریباً همیشه از دگرسانی میکا و کلریت ساخته می‌شود [۲۴]. پال و همکاران [۱۹] نتیجه گیری کردند که ورمیکولیت و اسمکتیت در اثر هوازدگی میکای بیوتیت در دشت مرکزی گانگ ساخته شده است.

کلریت فراوانی کمتری را در دشت گانگ نشان می‌دهد. تنها در منطقه کوهپایه‌ای این دشت مقدار بالایی از این کانی رسی یافت می‌گردد [۲۵]. ناهمانند با رودهای کراتون، که در واقع کلریت در آن‌ها نیست، بار رسوبی رودهای هیمالیا دارای ۵ تا ۲۰ درصد کلریت می‌باشد [۲۱].

ایلیت مهم‌ترین سازنده نهشته‌های رودهای هیمالیا، همچنین دشت گانگ، می‌باشد [۱۹ و ۲۶]. اما در میان کانی‌های رسی کالپی سومین کانی است (شکل ۳). بر پایه کارهای نخستین [۲۷]، به‌نظر می‌رسد بیشتر بخش‌های میکا، در اثر دگرسانی، احتمالاً به اسمکتیت و ورمیکولیت ترا ریخته<sup>۱۴</sup> شده است.

کائولینیت با مقدار نسبتاً کمتری در برش کالپی یافت می‌شود (شکل ۳). این کانی در نواحی با بارش بیش از ۱۰۰۰ میلی متر و pH خنثی تا اسیدی (کم) فراوان است [۱۴].

کانی‌شناسی رسی نهشته‌های کرانه<sup>۱۵</sup> رود یامونا مقادیر ۶۲، ۲۰/۳ و ۱۰/۹ و ۶/۸ متر را به ترتیب برای کانی‌های رسی اسمکتیت، ایلیت، کلریت-ورمیکولیت و کائولینیت نشان می‌دهد. مقادیر کانی‌های رسی یاد شده با واحد ۱ توالی کالپی قابل مقایسه است. در مواد خاستگاه رود یامونا در هیمالیا اسمکتیت وجود ندارد [۲۸]. بررسی بر روی مواد معلق رودهای گانگ و ایندوس نشان می‌دهد آن‌ها نیز دارای این کانی رسی نیستند [۲۵]. چاکراپانی و همکاران [۳] با بررسی کانی‌شناسی نهشته‌های معلق رود گانگ، پس از پیوستن رود یامونا و پیش از ورود به خلیج گانگ، نشان دادند که روند کاهش کانی‌های رسی در این رود عباتند از: میکا، کلریت، ورمیکولیت، کائولینیت و

تغییر میزان کانی های رسی در نمودار سنگی (شکل ۴) نشان می دهد واحد ۱ بیشترین مقدار اسمنتیت و واحد ۳ کمترین مقدار را دارد. تغییرات عمودی در برش را می توان به تغییر در سهم تامین رسوب از خاستگاه، شرایط آب و هوایی آن، و رخساره رسوبی واحدها نسبت داد. رتالاک [۳۹] در خاک های دیرینه کرتاسه تا تریشیاری شمال باختری آمریکا تغییر در توالی رو به بالا، کاهش کائولینیت و افزایش ایلیت و کلریت را به تغییر آب و هوایی از بسیار نمناک تا بسیار خشک نسبت داد. بر پایه نتایج به دست آمده از تاریخچه آبرفت گذاری، آتالیز رخساره های سنگی و زمین ریخت های بر جای مانده در دشت گانگ، دو فاز چیرگی آب و هوای نمناک و یک فاز خشک در کواترنر پسین شناسایی شده است [۴۰].

توپوگرافی یا شبیه ریخت شناسی نقش پایه ای در ساخت نوع کانی رسی دارد [۴۱]. رشتہ کوه هیمالیا، بویژه در بخش کوهستانی اش دارای شبیه تند تا بسیار تند می باشد. در حالیکه کراتون دارای ریخت شناسی تپه ماهور و کم شبیه است (جدول ۱). شبیه دشت گانگ نیز، بویژه در

بخش های پایین دست بسیار کم است.

فعالیت های نوزمین ساختی در منطقه بوسیله: الف- برخی سیماهای زمین ریختی مانند دره فرسایشی<sup>۱۶</sup> آبراهه ها و رودها در بخش های باختری و جنوبی دشت گانگ [۳۰]، ب- داده های لرزه ای و زمین لرزه ای [۴۲]، قابل شناسایی است (جدول ۱). داده های لرزه نگاری نیز نشانگر پویایی بالای هیمالیا و شرایط به طور نسبی آرام کراتون، بویژه تراپ دکن، است. برخی فرایندهای رودخانه ای مانند جابجایی و مهاجرت آب گذرها در دشت های گانگ را وابسته به فعالیت های نوزمین ساختی می دانند [۴۳]. جنبش های نوزمین ساختی در دشت گانگ از راه بررسی های زمین ریخت شناسی خاک نیز نتیجه گیری شده است [۶]. فرسایش خندقی پیرامون آبراهه ها و رودها، وابستگی این گونه ریخت ها به فعالیت های نوزمین ساخت آن منطقه دارد. برای نمونه چنین پدیده زمین ریختی تنها در بخش باختری رود گانگ دیده شده است [۹]. به دلیل نرخ بالای بالا مردمی در هیمالیا (نzdیک ۴ سانتیمتر در سال [۴۴] و شبیه تند ناشی از آن، کانی های رسی بر جا فرصت ساخت نمی یابند. در نتیجه کانی های رسی ایلیت و کلریت در اثر فرسایش شدید برونزدهای سنگ های رسوبی

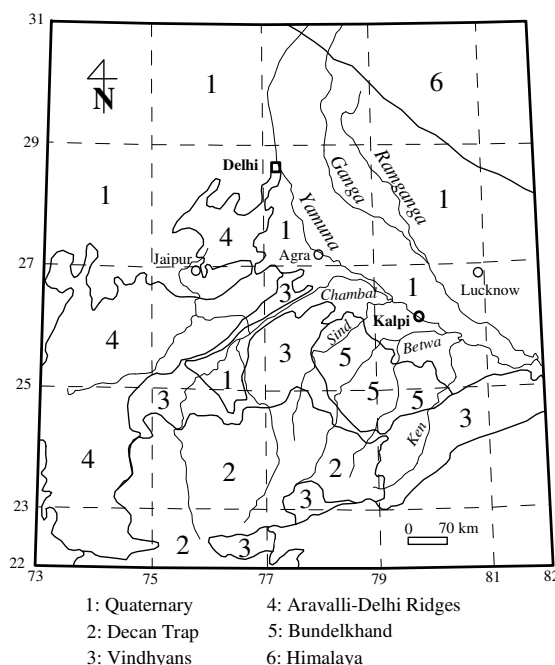
رودهای هیمالیا دارای مقدار بالایی ایلیت، مقدار تقریباً برابر کلریت و کائولینیت و کمی با بدون اسمنتیت (کمتر از ۰٪) هستند [۲۲]. در حالی که رودهای کراتون بیشتر دارای اسمنتیت (۲۳ تا ۸۶ درصد) می باشند [۲۲]. در بار رسوبی رودهای هیمالیا بین ۵ تا ۲۰ درصد کلریت وجود دارد، در حالی که در رودهای کراتون کلریت حضور ندارد [۲۱]. بنابراین، وجود کلریت در برش کالپی تنها از خاستگاه هیمالیا سرچشم می گرفته است. حال آنکه کائولینیت از هر دو خاستگاه آورده شده است. همان گونه که پیشتر گفته شد، کائولینیت از خاستگاه هیمالیا، بیشتر در اثر فرسایش سنگ های رسوبی، ولی در کراتون بیشتر در اثر دگر سانی سنگ های آدرین [۳۳] ساخته شده است. کلریت به دلیل هوازدگی شیمیایی و محیط قلیایی در کراتون امکان ساخت ندارد. از سوی دیگر وجود کلریت از خاستگاه هیمالیا در اثر فرسایش و تراپی سنگ های دگر گونه به دست می آید.

در منطقه کالپی، خاستگاه هیمالیا دارای فاصله دورتری نسبت به کراتون می باشد. فاصله برش کالپی تا سرشاخه های رود یامونا تا بیش از ۱۰۰۰ کیلومتر نیز می رسد، در حالیکه این فاصله برای کراتون چند ده تا چند صد کیلومتر است. در کل، نهشته های رودهای هیمالیا در شتر از رودهای کراتون می باشد [۲۱]. گیس [۳۴] بر این باور است که سازو کار ته نشینی گوناگون، کنترل کننده اندازه دانه ها است.

سیرو و همکاران [۳۵] نشان دادند نهشته های رودخانه ای به سوی پایین رود، نسبت کائولینیت کاهش و نسبت اسمنتیت افزایش می یابد. بررسی ها بر روی رودخانه گوادالوپ تا خلیج مکزیک نشان داد با نزدیک شدن به دریا، در اثر تبدیل اسمنتیت به کلریت، از میزان اسمنتیت کاسته و کلریت افزایش می یابد [۳۶]. بررسی کانی های رسی رود می سی سی پی از بالا به پایین نشان از افزایش اسمنتیت، کاهش ایلیت و کائولینیت و سرانجام عدم تغییر میزان کلریت دارد [۳۷]. نسبت کلریت به کائولینیت نهشته های معلق نشانگر کاهش (از ۰/۳ تا ۲ به سوی پایین دست رود یامونا است [۲۱]. فراوانی بیشتر کلریت نسبت به کائولینیت در بالارود می تواند ناشی از فرسایش بالا و جدایش کلریت پیشین<sup>۱۷</sup> باشد [۳۸].

جدول ۱- مقایسه ویژگی های گوناگون دو خاستگاه هیمالیا و کراتون

جایگاه	هیمالیا (شمال)	کراتون (جنوب)
آب و هوا	سرد	نیمه خشک- نیمه معتدل
میانگین بارش سالیانه (میلی متر)	۱۲۰۰ - ۲۲۰۰	۹۰۰ - ۱۴۰۰
میانگین دمای سالیانه (سانتیگراد)	۲۰	۲۲.۵ - ۲۷.۵
توپوگرافی	پر شیب	کم شیب
بلندی از تراز دریا (متر)	۱۰۰۰ - ۶۰۰۰	۳۰۰ - ۶۰۰
نو زمینساخت	بسیار پویا	کم پویا
زون بندی زمین لرزه	۴ و ۵ (کمترین ریسک)	۱ و ۲ (بیشترین ریسک)
هوازدگی چیره	فیزیکی	شیمیایی
سنگ چیره	رسوبی، دگرگونی	بازالت، دلریت و گرانیت
ژنر اصلی کانیهای رسی	موروثی	برجازا
کانی رسی چیره	ایلیت	اسمکتیت



شکل ۵- دشت گانگ و بخشهای پیرامون آن. شماره های زیر شکل نشانگر جایگاه جغرافیایی آنها در درون شکل است (نقشه ساده شده زمین شناسی شکل ۱: ۲۰۰۰.۰۰۰، سازمان زمین شناسی هند، ۱۹۹۸).

### فهرست واژه های اختصاصی

1- Foreland	9- Paleosol
2- Indogang Basin	10- Crevasse splay
3- Deformed	11- Mixed-layer clay minerals
4- Sub-Himalaya	12- degradation
5- Mottling	13- Preexisting
6- Rhizoconcretion	14- Transformed
7- Calcrete	15- Overbank
8- Backswamp	16- Incised

### REFERENCES:

- [1] Burbank, D.W., Leland, J., Fielding, E., Anderson, R.S., Brozovic, N., Reid, M.R., and Duncan, C. (1996) Bedrock incision, rock uplift, and threshold hillslopes in the northwestern Himalaya. *Nature* 379, 505-510.
- [2] Tandon, S. K. (1991) The Himalayan Foreland: focus on Siwalik Basin: In: Sedimentary Basin of India: Tectonic context (Eds. By S. K. Tandon, C. P. Charu, and Casshyap, Gyanodaya Prakashan, Nainital, 171-200.
- [3] Chakrapani, G.J., Subramanian, V., Gibbs, R.J., and Jha, P.K. (1995) Size characteristics and mineralogy of suspended sediments of the Ganges river, India. *Environ. Geol.*, 25, 3, 192-196.
- [4] Parkash, B., and Kumar S. (1991) The Indo-Gangetic Basin. In: Tandon, S. K., Charu C. P. and Casshyap (eds.) Sedimentary Basin of India: Tectonic context, Gyanodaya Prakashan, Nainital, 147-170.
- [5] Sinha, R. and Friend, P.F. (1994) River systems and their sediment flux, Indo-Gangetic Plains, Northern Bihar, India. *Sedimentology*, 41, 825-845.
- [6] Parkash, B., Kumar, S., Rao, M.S., Giri, S. C., Kumar, C.S., Gupta, S., and Srivastava, P. (2000) Holocene tectonic movements and stress field in the western Gangetic plains. *Curr. Sci.* 79 (4), 438-449.
- [7] Srivastava, P., Singh, I.B., Sharma, S., Shukla, U.K. and Singhvi, A.K. (2003) Late Pleistocene-Holocene hydrologic changes in the interfluvial areas of the Central Ganga Plain, India. *Geomorphology*, 1327, 1-14.
- [8] Singh, I.B., and Bajpai, V.N. (1989) Significance of syndepositional tectonics in the facies development of the Gangetic Alluvium near Kanpur, Uttar Pradesh. *J. Geol. Soc. Ind.* 34, 61-66.

دگرگونی وارد رودها می‌گردد. در حالی که در کراتون، به ویژه تراپ دکن، زمینساخت آرام فرصت کافی برای ساخت کانی‌های رسی بر جا مانند اسماکتیت فراهم آورده است.

### نتیجه‌گیری

یکی از روش‌های شناسایی خاستگاه رسوب، به کارگیری کانی‌های رسی است. این روش در منطقه کالپی در جنوب دشت گانگ هند استفاده شد. در بُرش کالپی، اسماکتیت کانی رسی چیره است که پس از آن به ترتیب فراوانی، کانی‌های کلریت-ورمیکولیت، ایلیت و کانولینیت قرار دارند. بر پایه ویژگی‌های زمین‌شناسی (سنگ‌شناسی و زمینساخت)، زمین‌ریخت‌شناسی (برجستگی یا شب زمین) و شرایط آب و هوایی (بارش، دما و پوشش گیاهی) در هیمالیا (در شمال) و کراتون (در جنوب) به نظر می‌رسد کانی‌های رسی اسماکتیت نشانه خوبی برای شناخت خاستگاه رسوبات در این منطقه باشد. کراتون (به ویژه تراپ دکن) به دلیل داشتن سنگ‌های بازالتی مناسب برای هوازدگی درجا، زمینساخت کم تکاپوتر (نسبت به هیمالیا)، شب ملایم‌تر و آب و هوای گرم و بارندگی متوسط شرایط مطلوبی برای تولید اسماکتیت فراهم نموده است. بنابراین کراتون کم و بیش به صورت خاستگاه پیوسته و اصلی برای تامین رسوبات، به ویژه ریز دانه، در توالي کالپی عمل کرده است. در کل می‌توان چنین نتیجه گیری نمود که نه تنها واحد ۱ [۸]، بلکه دیگر واحدهای توالي کالپی جایگاه گردآوری و انبوهش مرکبی از هر دو خاستگاه شمال (هیمالیا) و جنوب (کراتون) بوده است.

در مورد شناسایی کانی‌های آمیخته لایه پیشنهاد می‌گردد نمونه‌ها پس از تیمار با  $MgCl_2$  بار دیگر مورد بررسی قرار گیرند تا با اطمینان بیش تری بتوان آن‌ها شناسایی نمود.

- and B.A. Stewart), Lewis Pub., Boca Raton, 149-185.
- [21] Jha, P.K., Vaithyanathan, P., and Subramanian, V. (1993) Mineralogical characteristics of the sediments of a Himalayan river: Yamuna River: a tributary of the Ganges. *Environ. Geol.* 22, 13-20.
- [22] Pal, D.K., Bhattacharya, T., Deshpande, S.B., Sharma, V.A.K. and Velayutham, M. (2000b) Significance of Minerals in Soil Environment of India. NBSS Review Series, Vol. NBSS & LUP, Nagpur, 68 P.
- [23] Srivastava, P., Parkash, B., Sehgal, J.L., Kumar, S. (1994) Role of neotectonics and climate in development of the Holocene geomorphology and soils of the Gangetic plains between the Ramganga and Rapti rivers. *Sed. Geol.* 94, 129 – 151.
- [24] Douglas, L.A. (1977) Vermiculite. In: Minerals in Soil Environments. (Eds. by J. B. Dixon and S. B. Weed), *Soil Sci. Soc. Am.*, 259-292.
- [25] Srivastava, P. and Parkash, B. (1998) Clay minerals in Soils as Evidence of Holocene Climatic Change, Central Indo-Gangetic Plains, North-Central India. *Quat. Res.*, 50, 230-239.
- [26] Konta, J. (1985) Mineralogy and chemical maturity of suspended matter in major rivers samples under the SCOPE/UNEP Project. *Mitt. Geol. Paläontol. Inst. Univ. Hamburg*, 58, 569-592.
- [27] Pal, D.K., Kalbande, A.R., Deshpande, S.B. and Sehgal, J.L. (1994) Evidence of clay illuviation in sodic soils of north-western part of the Indo-Gangetic plain since the Holocene. *Soil Sci.*, 158, 465-473.
- [28] Sarin, M.M., Krishnaswami K, Dilli K., Somayajulu, B.L.K. and Moore, W.S. (1989) Major ion chemistry of the Ganga-Brahmaputra river system: weathering processes and fluxes to the Bay of Bengal. *Geochim. Cosmochim. Acta*. 53, 997-1009.
- [29] Krishnan, M.S. (1968) Geology of India and Burma. Madras, Higginbothams, 555 P.
- [30] Roy, B.B., and Barde, N.K. (1962) Some characteristics of the black soils of India. *Soil Sci.* 93, 142-147.
- [31] Tandon, S.K., Gibling, M.R., Sinha, R., Singh, V., Ghazanfari, P., Dasgupta, A., Jain, M., and Jain, V. (2006) Alluvial valleys of the Gangetic plains, India: causes and timing of incision. *Sedimentary Geology*. SEPM Special Pub., 85, 15-35.
- [32] Subramanian, V., 1980. Mineralogical input of suspended matter by Indian rivers into the
- [9] Ghazanfari, P. (2003) Geomorphological, sedimentological and geochemical studies of the Delhi-Moradabad and Kalpi windows in the Ganga plain, north India. Unpublished Ph.D. thesis, Delhi University, Delhi, 180 P.
- [10] Muller, G. (1967) Sedimentary petrology. In: Methods in sedimentary petrology, (Translated by Hans-Ulrich Schmincke) Hafuer Pub. New York, 283 P.
- [11] Carroll, D. (1974) Clay Minerals: A guide to their X-ray identification. 3<sup>rd</sup> edn. *Geol. Soc. Am. Spec. Pap.* 126 P.
- [12] Brown, G., and Brindley, G.W. (1980) X-ray diffraction procedures for clay mineral identification. In: *Crystal Structures of Clay Minerals and their X-ray Identification* (Eds. by G. W., Brindley, and G. Brown), Mineralogical Society, London, 305-360.
- [13] Hardy, R., and Tucker, M.E. (1988) X-ray powder diffraction of sediments. In: *Techniques in Sedimentology* (Ed. By M. E. Tucker), Blackwells, Oxford, 191-228,.
- [14] Weaver, C.E. (1989) Clays, Muds and Shales. Elsevier, 819 P.
- [15] Gibling, M.R., Tandon, S.K., Sinha, R., and Jain, M. (2005) Discontinuity-bounded alluvial sequences of the southern Gangetic plains, India: aggradation and degradation in response to monsoonal strength, *Jour. Sed. Research*, 75, 3, 369-385.
- [16] Singh, I.B., Srivastava, P., Sharma, S., Sharma, M., Singh, D.S., Rajagopalan, G., and Shukla, U.K. (1999) Upland interfluve (Doab) deposition: alternative model to muddy overbank deposits. *Facies*, Erlangen 40, 197-210.
- [17] Sinha, R., Khanna, M., Jain, V. and Tandon, S.K. (2002) Mega-geomorphology and sedimentation history of parts of the Ganga-Yamuna plains. *Curr. Sci.* 82 (5), 562-566.
- [18] Kumar, S., Parkash, B., Manchand, M.L., Singhvi, A.K. and Srivastava, P. (1996) Holocene landform and soil evolution of the western Gangetic Plains: Implications of neotectonics and climate. *Z. Geom. N. F. Berlin – Stuttgart*, 103, 283-312.
- [19] Pal, D.K., Srivastava, P., Durge, S.L., and Bhattacharyya, T. (2003) Role of microtopography in the formation of sodic soils in the semi-arid part of the Indo-Gangetic Plains, India. *Catena* 51, 3-31.
- [20] Pal, D.K., Dasog, G.S., Vadivelu, S., Ahuja, R.L. and Bhattacharyya, T. (2000a) Secondary calcite carbonates in soils of arid and semi-arid regions of India. In: *Global Climate Change and Pedogenic Carbonates*, (Eds. By R. Lal, J.M. Kimble, H. Eswaran,

- [42] Ghosh, D.K., 1994. Modern alluvial fans of the Indo-Gangetic- Brahmaputra plain and their tectonic control. In: India: Geomorphological Diversity. (Eds. By K. R. Dikshit, V. S. Kale, and M. N. Kaul), Jaipur: Rawat Pub., 287-300.
- [43] Gupta, S. (1997) Himalayan drainage patterns and the origin of fluvial megafans in the Ganga foreland basin. *Geology* 25(1), 11-14.
- [44] Wang, Q., Zhang, P., Freymueller, J.T., Bilham, R., Larson, K.M., Lai, X., You, X., Niu, Z., Wu, J., Li, Y., Liu, J., Yang, Z., and Chen, Q. (2001) Present-day crustal deformation in China constrained by global positioning system measurements: *Science*, v. 294, 574-577.
- [45] Geological map of India 1:2000000, (1998) Geological survey of India.
- adjacent areas of the Indian Ocean. *Mar. Geol.* 36, 29-34.
- [33] Singh, P., and Rajamani, V., 2001. Geochemistry of the floodplain sediments of the Kaveri river, south India. *Jour. Sed. Research*, 71, 1, 50-60.
- [34] Gibbs, R.J., 1977. Clay mineral segregation in the marine environment. *J. Sediment. Petrol.*, 7, 237-243.
- [35] Siiro, P., Rasanen, M., Gingras, M.K., Harris, C.R., Irion, G., Pemberton, G., and Ranzi, A., 2005. Application of laser diffraction grain-size analysis to reveal depositional processes in tidally influenced systems. *Spec. Publs. Int. Ass. Sediment.* 35, 159-180.
- [36] Greensmith, J.T., 1988. Petrology of sedimentary rocks. George Allen & Unwin, London, 241 P.
- [37] Potter, P.E., Heling, D., Ships, N.F., and Van Wie, W., 1975. Clay mineralogy of modern alluvial muds of the Mississippi River Basin. *Bull. Centre Rech. Pau-SNPA*, 9, 353-389.
- [38] Biscaye, P.E., 1965. Mineralogy and sedimentation of recent deep sea clay in the Atlantic Ocean and adjacent seas. *Bull. Geol. Soc. Am.*, 76, 803-832.
- [39] Retallack, G.J., 1986. Fossil soils as grounds for interpreting long-term controls on ancient rivers. *Jour. Sed. Petrol.*, 56, 1-18.
- [40] Joshi, D.D., 2001. Late Quaternary climatic events of the Gangetic plain. *Geol.Surv. of India, Spl. Pub.* 65(III), 101-107.
- [41] Velde, B., 1992. Introduction to clay mineralogy: chemistry, origin and environmental significance. Chapman & Hall, 198 P.